

Bachelorarbeit

# **Integration einer Sprachsteuerungsfunktion in Mobile Apps**

Rubén Nuñez

Herbstsemester 2023

# Bachelorarbeit an der Hochschule Luzern – Informatik

**Titel:** Integration einer Sprachsteuerungsfunktion in Mobile Apps

**Studentin/Student:** Ruben Nuñez

**Studiengang:** BSc Informatik

**Jahr:** 2023

**Betreuungsperson:** Dr. Florian Herzog

**Expertin/Experte:** xxx

**Auftraggeberin/Auftraggeber:** Stefan Reinhard, Bitforge AG

**Codierung / Klassifizierung der Arbeit:**

☒ Öffentlich (Normalfall)

☐ Vertraulich

**Eidesstattliche Erklärung** Ich erkläre hiermit, dass ich die vorliegende Arbeit selbständig und ohne unerlaubte fremde Hilfe angefertigt habe, alle verwendeten Quellen, Literatur und andere Hilfsmittel angegeben habe, wörtlich oder inhaltlich entnommene Stellen als solche kenntlich gemacht habe, das Vertraulichkeitsinteresse des Auftraggebers wahren und die Urheberrechtsbestimmungen der Hochschule Luzern respektieren werde.

Ort / Datum, Unterschrift \_\_\_\_\_

**Abgabe der Arbeit auf der Portfolio Datenbank:**

Bestätigungsvisum Studentin/Student

Ich bestätige, dass ich die Bachelorarbeit korrekt gemäss Merkblatt auf der Portfolio Datenbank abgelegt habe. Die Verantwortlichkeit sowie die Berechtigungen habe ich abgegeben, so dass ich keine Änderungen mehr vornehmen kann oder weitere Dateien hochladen kann.

Ort / Datum, Unterschrift \_\_\_\_\_

**Verdankung** gibt ein separiertes Kapitel dazu

**Ausschliesslich bei Abgabe in gedruckter Form: Eingangsvisum durch das Sekretariat auszufüllen**

Rotkreuz, den \_\_\_\_\_

Visum: \_\_\_\_\_

## **Abstract**

Das Problem dieser Arbeit ist im wesentlichen die Erkennung von Wake-up Wörter innerhalb des Kontext einer App. Grundsätzlich ist es unüblich, dass mobile Apps eine integrierte Sprachsteuerungsfunktion anbieten.

# Inhaltsverzeichnis

<b>1</b>	<b>Problem, Fragestellung, Vision</b>	<b>6</b>
1.1	Problemstellung . . . . .	6
1.2	Fragestellung . . . . .	6
1.3	Vision . . . . .	6
<b>2</b>	<b>Grundlagen</b>	<b>7</b>
2.1	Audio . . . . .	7
2.1.1	Sampling . . . . .	7
2.1.2	Frames, Channels, Buffers . . . . .	7
2.1.3	Buffers im Detail . . . . .	8
2.2	Audio APIs . . . . .	9
2.2.1	Audio API für Analyse . . . . .	9
2.2.2	Audio API für Integration . . . . .	9
2.3	Fourier-Analyse . . . . .	10
2.3.1	Fourier-Transformation . . . . .	10
2.3.2	Diskrete Fourier-Transformation . . . . .	11
2.3.3	Aliasing . . . . .	13
2.4	Spektrogramm . . . . .	13
2.5	Machine Learning . . . . .	14
2.5.1	Neuronale Netze . . . . .	14
2.5.2	Deep Neural Networks . . . . .	14
2.5.3	Convolutional Neural Networks . . . . .	14
2.5.4	Recurrent Neural Networks . . . . .	14
<b>3</b>	<b>Stand der Forschung</b>	<b>15</b>
3.1	Zeitliche Entwicklung der Spracherkennung . . . . .	15
3.2	Komparative Analyse von Sprachassistenten . . . . .	16
3.3	Funktionsweise von Siri . . . . .	16
3.4	In App Sprachsteuerung . . . . .	16
3.5	Marktanalyse - Benchmarking . . . . .	16
3.6	Diskussion . . . . .	16
<b>4</b>	<b>Ideen und Konzepte</b>	<b>17</b>
4.1	Einleitung . . . . .	17
4.2	Grundlegende Idee . . . . .	17
4.3	Skizzenhafte Lösungsansätze . . . . .	17
4.4	Systemarchitektur . . . . .	17
4.5	Alternative Ansätze . . . . .	17
4.6	Mögliche Problempunkte . . . . .	17
4.7	Erste Überlegungen zu Tools und Technologien . . . . .	18
4.8	Zusammenfassung und Ausblick . . . . .	18
<b>5</b>	<b>Methoden</b>	<b>19</b>
5.1	Vorgehensmodell . . . . .	19
5.2	Forschungsmethoden (falls anwendbar) . . . . .	19
5.3	Technische Evaluierung . . . . .	19
5.4	Integrationsmethode . . . . .	19
5.5	Teststrategie . . . . .	19

<b>6</b>	<b>Realisierung</b>	<b>20</b>
6.1	Google Cloud Platform . . . . .	20
6.1.1	Recorder Webseite . . . . .	20
6.2	Datensatz . . . . .	20
6.2.1	Datensatz 'other' . . . . .	20
6.2.2	Datensatz 'hey-fooby' . . . . .	20
6.3	Modell . . . . .	20
6.3.1	Modell 'CNN' . . . . .	20
6.3.2	Modell 'RNN' . . . . .	20
<b>7</b>	<b>Evaluation und Validation</b>	<b>21</b>
<b>8</b>	<b>Ausblick</b>	<b>22</b>
<b>9</b>	<b>Anhang</b>	<b>23</b>
9.1	Projektmanagement . . . . .	23
9.1.1	Produkt Backlog . . . . .	23
9.1.2	Risikomanagement . . . . .	23
9.2	Grobplanung . . . . .	24
	<b>Abbildungsverzeichnis</b>	<b>25</b>
	<b>Tabellenverzeichnis</b>	<b>25</b>
	<b>Literaturverzeichnis</b>	<b>25</b>

# 1 Problem, Fragestellung, Vision

## 1.1 Problemstellung

Sprachsteuerungstechnologien haben ein grosses Potenzial und werden bisher vor allem als Sprachsteuerungsassistenten genutzt. Während es etablierte Sprachassistenten wie Siri, Google oder Alexa gibt, fehlt es an Lösungen für eine integrierte Sprachsteuerung in Mobile Apps, insbesondere in Bezug auf das Erkennen von *Wake-up* Wörtern. Daher gibt es eine Lücke zwischen eigenen Sprachassistenten und Mobile Apps. Diese Lücke soll mit dieser Arbeit geschlossen werden.

## 1.2 Fragestellung

Wie kann eine integrierte Sprachsteuerung für eine Mobile App entwickelt werden, die speziell das Erkennen von *Wake-up* Wörtern oder *Wake-up* Wortsequenzen ermöglicht?"

## 1.3 Vision

Als Vision dieser Arbeit soll eine Grundlage geschaffen werden, um ein *Wake-up* Wort oder eine Sequenz von *Wake-up* Wörtern in der akustischen Sprache erkennen zu können. Dabei sollen Methoden und Werkzeuge aus dem Bereich des Machine Learnings verwendet werden. Zum anderen soll diese Erkenntnisse in eine mobile Plattform wie iOS oder Android integriert werden. Für den Rahmen dieser Arbeit genügt die Integration in eine der genannten Plattformen. Weiterhin ist Anliegen dieser Arbeit, dass das Thema Datenschutz und die ethischen Aspekte berücksichtigt werden.

## 2 Grundlagen

Um diese Arbeit fundiert anzugehen, ist ein Verständnis der Grundlagen in den Bereichen Audioverarbeitung und Machine Learning essenziell. Daher wird in diesem Kapitel ein Überblick über die wichtigsten Themen gegeben.

### 2.1 Audio

In der digitalen Welt repräsentiert Audio Schallwellen, die durch eine Reihe von numerischen Werten dargestellt werden. (Somberg et al., 2019, p.9) beschreibt Audio als: „Fundamentally, audio can be modeled as waves in an elastic medium. In our normal everyday experience, the elastic medium is air, and the waves are air pressure waves.“ Audiosignale werden durch die Funktion  $A(t)$  repräsentiert, wobei  $t$  die Zeit und  $A(t)$  die Amplitude zum Zeitpunkt  $t$  angibt. Die Amplitude ist die Stärke des Signals und die Zeit repräsentiert die Position des Signals in der Zeit. Diese Betrachtung ist vor allem in der Elektrotechnik von Bedeutung, da die Amplitude als Spannung angesehen werden kann. Grundsätzlich ist Audio ein kontinuierliches Signal. In der digitalen Welt können wir jedoch nur diskrete Werte darstellen. Daher wird das kontinuierliche Signal in diskrete Werte umgewandelt. Dieser Vorgang wird als *Sampling* bezeichnet (Tarr, 2018, Chapter 3.1).

#### 2.1.1 Sampling

Ein früherer Ansatz zur digitalen Darstellung von analogen Signalen war die Pulse-Code-Modulation (PCM). Dieses Verfahren wurde bereits in den 1930er Jahren von Alec H. Reeves entwickelt, parallel zum Aufkommen der digitalen Telekommunikation (Deloraine und Reeves, 1965, p. 57). Im Grundsatz wird es heute noch in modernen Computersystemen nach dem gleichen Verfahren angewendet.

Es folgt eine formelle Definition von Sampling. Ein kontinuierliches Signal  $A(t)$  wird in bestimmten Zeitintervallen  $T_s$  gesampelt. Diese Zeitintervalle werden auch als Sampling-Periode bezeichnet. Die Sampling-Rate  $F_s = \frac{1}{T_s}$  gibt die Anzahl der Samples pro Sekunde an. Angenommen wir haben ein Signal mit einer Sampling-Periode von  $T_s = 0.001$ . Um nun die Sampling-Rate zu berechnen, müssen wir den Kehrwert der Sampling-Periode berechnen.  $F_s = \frac{1}{0.001} = 1000$ . Somit erhalten wir eine Sampling-Rate von 1000 Samples pro Sekunde. Nun typische Sampling-Raten sind 44100 Hz oder 48000 Hz. Bei Sampling-Raten wird die Einheit *Hertz* verwendet. Ein Hertz entspricht einer Frequenz von einem Sample pro Sekunde. Ein weiterer wichtiger Begriff ist die *Nyquist-Frequenz*. Die Nyquist-Frequenz  $F_n$  ist die Hälfte der Sampling-Rate. Also  $F_n = \frac{F_s}{2}$ . Die Idee hinter der Nyquist-Frequenz ist, dass die Sampling-Rate mindestens doppelt so hoch sein muss wie die höchste Frequenz des Signals. Wenn diese Eigenschaft erfüllt ist, kann das Signal ohne Informationsverlust rekonstruiert werden (Tarr, 2018, Chapter 3.1). Mehr dazu folgt im Unterkapitel *Fourier-Analyse*.

Weiter ist es wichtig zu verstehen, dass ein Sample ein diskreter Wert ist. Und dieser wird in digitalen Systemen durch eine bestimmte Anzahl von Bits dargestellt. Die Anzahl der Bits wird als *Bit-Depth* bezeichnet. Die Bit-Depth bestimmt die Auflösung des Signals. Typische Bit-Depth Werte sind 16 oder 24 Bit (Somberg et al., 2019, p.10).

#### 2.1.2 Frames, Channels, Buffers

Ebenfalls wichtig ist das Verständnis von Frames, Channels und Buffers. Da diese Arbeit sich mit Audio-Systemen beschäftigt, ist es wichtig, die Begriffe *Frame*, *Channel* und *Buffer* zu verstehen. Fangen wir mit dem Begriff *Channel* an. Ein Channel kann als ein einzelnes Audio-Signal angesehen werden. Ein Mono-Signal hat genau nur einen Channel. Ein Stereo-Signal hat zwei Channels. Ein Surround-Signal hat mehr als zwei Channels. usw. Nun zum Begriff *Frame*. Ein Frame entspricht einem Sample pro Channel. Weiter sind Frames in Buffers organisiert. Ein Buffer ist eine Sammlung von Frames. Typischerweise werden Buffers in Größen von 64, 128, 256, 512 oder 1024 Frames organisiert.

Die Abbildung 1 zeigt die Beziehung zwischen Frames, Channels und Buffers. Die Abbildung wurde basierend auf (Somberg et al., 2019, p.10) erstellt und verdeutlicht die Beziehung zwischen Frames, Channels und Buffers.

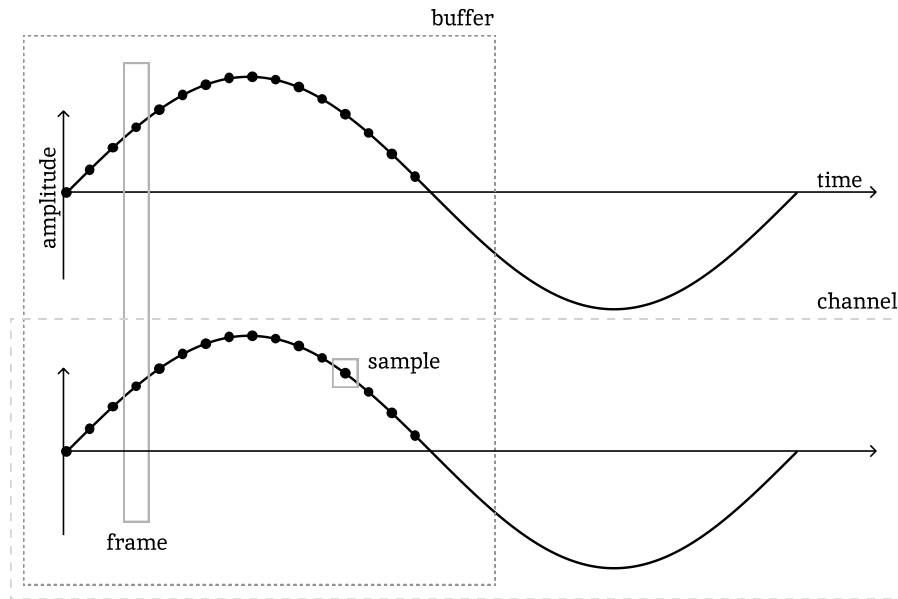


Abbildung 1: Frames, Channels und Buffers

### 2.1.3 Buffers im Detail

Ein Buffer im Kontext von Audio ist eine aufeinanderfolgende Sammlung von Frames. Die bereits angesprochene Grösse eines Buffers bestimmt im wesentlichen die Latenzzeit des Systems. Kleine Buffer-Grössen haben eine geringe Latenzzeit, während grosse Buffer-Grössen eine hohe Latenzzeit haben (Somberg et al., 2019, p.10). Der Trade-Off ist dass kleine Buffer-Grössen zu einer höheren CPU-Auslastung führen, während bei grossen Buffer-Grössen das nicht der Fall ist. Das liegt daran, dass bei kleinen Buffer-Grössen die CPU häufiger aufgerufen wird, um die Buffers zu verarbeiten.

Nun betrachten wir die mögliche Anordnung eines Buffers, wie in den folgenden Abbildungen dargestellt. Es gibt zwei Möglichkeiten, wie Buffers angeordnet werden können: *Interleaved* und *Non-Interleaved*. Bei der *Interleaved*-Anordnung werden die Samples der einzelnen Channels nacheinander in sequentieller Reihenfolge in den Buffer geschrieben. Im Gegensatz dazu werden bei der *Non-Interleaved*-Variante die Samples eines Channels nacheinander in den Buffer geschrieben, bevor die Samples des nächsten Channels hinzugefügt werden. Dieser Vorgang wird für jeden Channel wiederholt. Die Tabelle 1 zeigt die Unterschiede zwischen den beiden Anordnungen. Jede Zelle der Tabelle entspricht einem Sample. L und R stehen exemplarisch für die Channels Left und Right. Die erste Zeile entspricht der *Interleaved*-Anordnung und die zweite Zeile der *Non-Interleaved*-Anordnung. Die Abbildung wurde basierend auf (Somberg et al., 2019, p.11) erstellt.

L	R	L	R	L	R	L	R
L	L	L	L	R	R	R	R

Tabelle 1: Frames in Interleaved und Non-interleaved Buffers

Mit diesem Wissen kennen wir nun die Unterschiede zwischen den beiden Anordnungen. Für die Anwendung ist es wichtig zu verstehen, mit welcher Anordnung die verwendete API arbeitet.



## 2.2 Audio APIs

Audio APIs sind im Bereich der Audioverarbeitung von essentieller Bedeutung. Sie bieten eine Schnittstelle, welche den Zugriff auf vielfältige Audiofunktionen erlaubt. Ohne solche APIs müssten Entwickler die Audioverarbeitung von Grund auf neu implementieren.

In der Erarbeitungsphase dieser Arbeit kristallisierten sich zwei primäre Anwendungsgebiete heraus. Erstens die intensive Auseinandersetzung mit Audioverarbeitung in Python, um tieferes Verständnis für die Materie zu entwickeln. Zweitens die Notwendigkeit, eine Audio API in eine mobile Applikation zu integrieren. Im Kontext dieser Arbeit werden sie als *Audio API für Analyse* und *Audio API für Integration* bezeichnet.

El sol es grande

Im Bereich der *Analyse* fiel die Wahl auf folgende APIs:

- **PyAudio:** Eine verbreitete Schnittstelle in Python zur Audioverarbeitung.
- **SoundDevice:** Eine vielseitige Python-Bibliothek für Audioverarbeitungsaufgaben.
- **librosa:** Eine Bibliothek, die speziell auf die Analyse von Audiosignalen ausgerichtet ist.

Im Kontext der *Integration* standen folgende APIs im Fokus:

- **AVAudioEngine:** Eine leistungsfähige Schnittstelle primär für die Plattformen iOS und macOS.
- **AudioTrack:** Eine spezialisierte API für Audioanwendungen auf Android-Geräten.

Die folgenden Abschnitte werden tiefer auf die jeweiligen Eigenschaften und Möglichkeiten dieser APIs eingehen, insbesondere im Hinblick darauf, wie sie sich für die Aufnahme, Wiedergabe und Echtzeitverarbeitung von Audiodaten eignen.

### 2.2.1 Audio API für Analyse

Python zeichnet sich durch eine beeindruckende Auswahl an Bibliotheken für datenanalytische Aufgaben aus, zu denen auch NumPy, SciPy, Pandas und Matplotlib gehören. In dieser Arbeit wurde zunächst **PyAudio** in Erwägung gezogen. PyAudio ist als Schnittstelle zur PortAudio-Bibliothek bekannt, die plattformübergreifende Audioverarbeitungsfunktionen bereitstellt. Trotz ihrer intuitiven Funktionen für Aufnahme und Wiedergabe wurde PyAudio letztlich aufgrund von Inkompatibilitäten mit der gewählten Entwicklungsumgebung verworfen. TODO: PyAudio/SoundDevice/librosa vergleichen

### 2.2.2 Audio API für Integration

TODO: AVAudioEngine, AudioTrack und kurze Codebeispiele

## 2.3 Fourier-Analyse

Die Fourier-Analyse befasst sich mit der Zerlegung von Funktionen in Frequenzkomponenten. Die Fourier-Analyse ist ein wichtiges Konzept in der Signalverarbeitung und findet breite Anwendung in der Audioverarbeitung. Daher ist ein Grundverständnis für diese Arbeit relevant.

### 2.3.1 Fourier-Transformation

Die Fourier-Transformation ist ein zentrales Werkzeug der Fourier-Analyse. Sie ermöglicht die Zerlegung von Funktionen in ihre Frequenzkomponenten und die Rekonstruktion von Funktionen aus diesen Komponenten. Dies wird als Fourier-Analyse und Fourier-Synthese bezeichnet. Dieses Konzept wird auch von Prof. Dr. Weitz in seinem Video zu Fourier-Analyse erläutert (Weitz, 2023, 2:20). Mathematisch ausgedrückt wird die kontinuierliche Fourier-Transformation eines Signals  $f(t)$  wie folgt definiert (Hansen, 2014, Chapter 5):

$$F(\omega) = \int_{-\infty}^{\infty} f(t) e^{-i\omega t} dt$$

$F(\omega)$  ist die Fourier-Transformation von  $f(t)$  (Weitz, 2023, 49:27). Als kleines Rechenbeispiel betrachten wir die Fourier-Transformation der Rechteckfunktion  $\text{rect}(x)$ , die wie folgt definiert ist:

$$\text{rect}(x) = \begin{cases} 1 & \text{für } -1 \leq x \leq 1 \\ 0 & \text{sonst} \end{cases}$$

Die Fourier-Transformation der Funktion  $\text{rect}(x)$  kann wie folgt berechnet werden:

$$\begin{aligned} F(\omega) &= \int_{-\infty}^{\infty} \text{rect}(x) e^{-i\omega x} dx \\ &= \int_{-1}^1 e^{-i\omega x} dx \\ &= \frac{1}{-i\omega} [e^{-i\omega x}]_{-1}^1 \\ &= \frac{1}{-i\omega} (e^{-i\omega} - e^{i\omega}) \\ &= \frac{1}{-i\omega} (\cos(\omega) - i \sin(\omega) - \cos(\omega) - i \sin(\omega)) \\ &= \frac{1}{-i\omega} (-2i \sin(\omega)) \\ &= \frac{2 \sin(\omega)}{\omega} \end{aligned}$$

Somit ist die Fourier-Transformation der Rechteckfunktion  $\text{rect}(x)$  gleich  $\frac{2 \sin(\omega)}{\omega}$ .



Abbildung 2: Rechteckfunktion und ihre Fourier-Transformation

Die Abbildung 2 stellt die  $\text{rect}(x)$  Funktion und ihre Fourier-Transformation, die als  $\text{sinc}(\omega)$  bezeichnet wird, dar. Die Nullstellen  $\pm\pi, \pm2\pi, \pm3\pi, \dots$  der  $\text{sinc}(\omega)$  Funktion deuten darauf hin, dass die  $\text{rect}(x)$

Funktion bei diesen Frequenzen keine Energie besitzt. Die primäre Energie der Funktion liegt bei  $\omega = 0$ . Beispiel adaptiert von (Hansen, 2014, Chapter 5 - Example 5.1).

### 2.3.2 Diskrete Fourier-Transformation

Die diskrete Fourier-Transformation (DFT) stellt eine diskrete Variante der kontinuierlichen Fourier-Transformation dar und wird speziell auf diskrete Signale angewendet. In digitalen Systemen sind Signale typischerweise diskret und bestehen aus einzelnen Samples, weshalb die DFT besonders relevant für solche Anwendungen ist. Die mathematische Definition der DFT ist (Hansen, 2014, Chapter 3):

$$F(k) = \sum_{n=0}^{N-1} f(n) \cdot e^{-\frac{2\pi i}{N} kn}$$

Zur Veranschaulichung betrachten wir ein Code-Beispiel. Wir haben eine Funktion  $f(t)$  und unterteilen diese in  $N$  Samples. Die DFT berechnet nun die Frequenzkomponenten des Signals. Die Abbildung 3 zeigt ein Beispiel für ein Signal  $f(t)$  mit  $N = 5$  Samples.

$$f(t) = 1.5 \cos(t) + 0.25 \sin(t) + 2 \sin(2t) + \sin(3t)$$

```
.
import numpy as np
import matplotlib.pyplot as plt

def f(x):
    return 1.5 * np.cos(x) + 0.25 * np.sin(x) + 2 * np.sin(2*x) + np.sin(3*x)

N_SAMPLES = 5

x_curve = np.linspace(0, 2*np.pi, 100) # 100 Punkte zwischen 0 und 2pi
x_points = np.linspace(0, 2*np.pi, N_SAMPLES) # 5 Punkte zwischen 0 und 2pi

plt.plot(x_curve, f(x_curve))
plt.plot(x_points, f(x_points), 'o') # Plotte die 5 Punkte
```

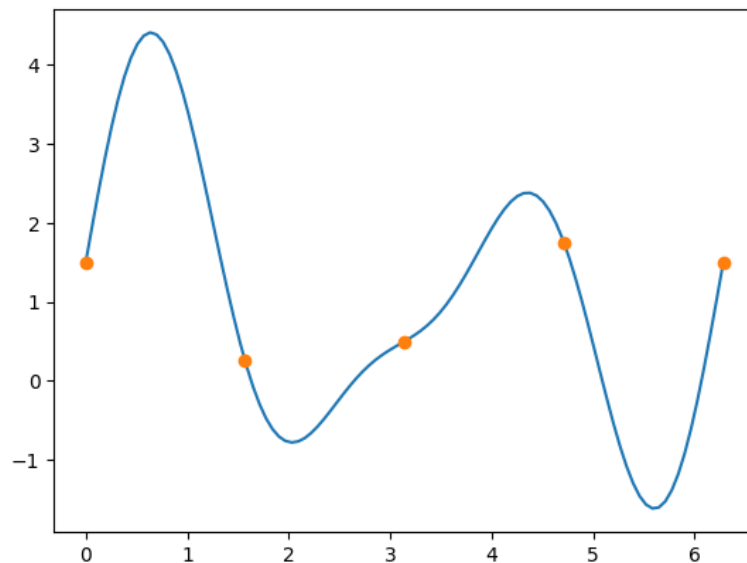


Abbildung 3: Funktion  $f(x)$  mit 5 Samples

Nun berechnen wir die DFT der 5 Samples. Dazu verwenden wir die `fft` Funktion aus der `numpy` Bibliothek. Das Resultat ist ein Array mit  $N$  komplexen Zahlen. Die Tabelle 2 zeigt die Funktion  $f(x)$  und die DFT der 5 Samples.

```
fhat = np.fft.fft(f(x_points), N_SAMPLES)
```

	0	1	2	3	4
$f(x)$	1.5	0.25	0.5	1.75	1.5
dft	$5.50 + 0.00i$	$0.22 + 1.92i$	$0.78 - 0.45i$	$0.78 + 0.45i$	$0.22 - 1.92i$

Tabelle 2:  $f(x)$  und die DFT der 5 Samples

Mit den Frequenzkomponenten der DFT können Signale manipuliert werden, etwa durch Filtern bestimmter Frequenzbereiche. Um das ursprüngliche Signal wiederzuerlangen, wenden wir die inverse DFT an. Die Formel der inversen DFT, welche das Signal rekonstruiert, lautet (Hansen, 2014, Chapter 3):

$$f(n) = \frac{1}{N} \sum_{k=0}^{N-1} F(k) \cdot e^{\frac{2\pi i}{N} kn}$$

```
reconstructed_manual = np.zeros_like(x_points, dtype=np.complex128)

dt = x_points[1] - x_points[0] # Abstand zwischen zwei Punkten
T = N_SAMPLES * dt # Periode des Signals

for n in range(N_SAMPLES):
    # Rekonstruiert Signal mit Fourier-Koeffizienten, neg. Freq. bei n > N_SAMPLES/2.
    freq = n / (2*np.pi) if n <= N_SAMPLES//2 else (n - N_SAMPLES) / (2*np.pi)
    reconstructed_manual += fhat[n] * np.exp(1j * 2 * np.pi * freq * x)

reconstructed_manual = (reconstructed_manual / N_SAMPLES).real
reconstructed = np.fft.ifft(fhat).real # Rekonstruiertes Signal mit ifft
```

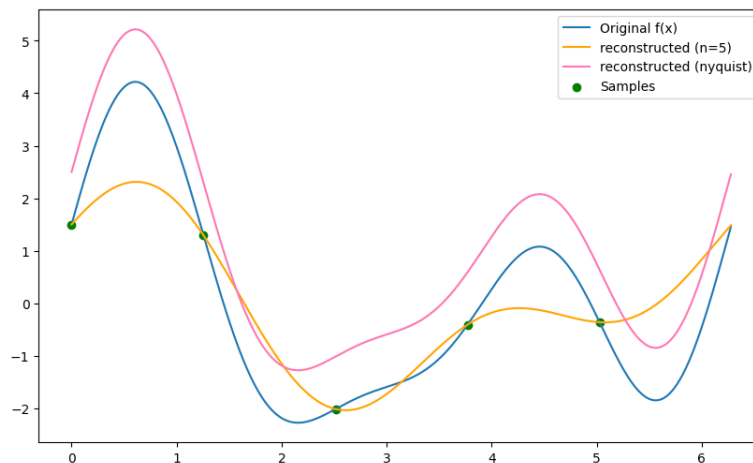


Abbildung 4: Rekonstruktion des Signals  $f(x)$

Die Abbildung 4 zeigt die ursprüngliche Funktion  $f(x)$  und die rekonstruierten Funktionen `reconstructed (n=5)` und `reconstructed (n=nyquist)`. Die Annäherung der mit der inversen DFT rekonstruierten Funktion an die ursprüngliche Funktion ist bei  $n = 5$  deutlich sichtbar. Bei  $n = nyquist$  ist die Annäherung nahezu perfekt, wenn nicht sogar perfekt. Die Sampling-Rate bei der Nyquist angenäherten Funktion ist das Doppelte der höchsten Frequenz des Signals. Das ist in diesem Fall  $2 \cdot 3 + 1 = 7$ .

### 2.3.3 Aliasing

Aliasing tritt auf, wenn ein Signal bei einer nicht ausreichend hohen Samplingrate digital erfasst wird, wodurch Frequenzen des Signals fehlinterpretiert werden können. Als allgemeines Beispiel wenn ein Sinussignal mit einer Frequenz von 1200 Hz betrachtet wird und dieses mit einer Samplingrate von nur 1000 Hz aufgenommen wurde, könnte das digitalisierte Signal so aussehen, als ob das ursprüngliche Signal eine Frequenz von 200 Hz hätte. Das ist, als ob man ein sich schnell drehendes Rad filmt und auf dem Video wirkt es, als würde es sich langsamer oder sogar rückwärts drehen. Um solche Fehler zu verhindern, sollte die Samplingrate stets mindestens das Doppelte der höchsten Frequenz des Signals betragen, ein Grundsatz, der als Nyquist-Kriterium bekannt ist. (Weitz, 2023).

## 2.4 Spektrogramm

Mit einem Verständnis der Grundlagen der Fourier-Analyse können wir die Bedeutung des Spektrogramms erfassen. Ein Spektrogramm bietet eine visuelle Darstellung der verschiedenen Frequenzen, die in einem Signal über die Zeit hinweg vorhanden sind. Ein Spektrogramm wird wie folgt definiert:

”A spectrogram is a three-dimensional visualization of a signal’s amplitude over frequency and time. Many audio signals are comprised of multiple frequencies occurring simultaneously, with these frequencies often changing over time.” (Tarr, 2018, Chapter 15.2.1)

Im Bereich des Machine Learning, insbesondere bei der Spracherkennung, nimmt das Spektrogramm eine zentrale Position ein. Die Fourier-Transformation eines Audiosignals in seine Frequenzkomponenten resultiert in einem Verlust der zeitlichen Informationen durch die Anwendung der FFT. Für Aufgaben wie die Spracherkennung ist es jedoch von grundlegender Bedeutung, nicht nur die im Signal vorhandenen Frequenzen zu identifizieren, sondern auch den Zeitpunkt ihres Auftretens zu bestimmen. Hier schafft das Spektrogramm Abhilfe, da es die zeitliche Abfolge der Frequenzen sichtbar macht. Diese Fähigkeit ist insbesondere für das Erkennen der Sequenz gesprochener Wörter in einem Satz von Bedeutung (Chaudhary, 2020). Somit verknüpft das Spektrogramm zeitliche und frequenzbezogene Informationen, was es zu einem wichtigen Instrument für die Spracherkennung und andere Machine Learning-Anwendungen macht. Abbildung 5 zeigt ein Beispiel eines Spektrogramms, das im Rahmen dieser Arbeit entwickelt wurde. Das Spektrogramm wurde unter Verwendung der Python-Bibliotheken `PyQt6` für die Echtzeit-Visualisierung und `sounddevice` für den Zugriff auf die Audio-Hardware generiert.



Abbildung 5: Spektrogramm

## **2.5 Machine Learning**

Um die Grundlagen von Machine Learning im Bereich der Spracherkennung zu verstehen, ist es wichtig, die grundlegenden Konzepte von Neuronalen Netzen zu verstehen. Für den Anwendungsbereich der Spracherkennung sind vor allem die Deep Neural Networks (DNN), die Convolutional Neural Networks (CNN) und die Recurrent Neural Networks (RNN) von Bedeutung. Um diese wird es in diesem Kapitel gehen.

### **2.5.1 Neuronale Netze**

### **2.5.2 Deep Neural Networks**

### **2.5.3 Convolutional Neural Networks**

### **2.5.4 Recurrent Neural Networks**

### 3 Stand der Forschung

Der Stand der Forschung ist ein wichtiger Teil dieser Arbeit. Darin werden die wichtigsten zeitlichen Entwicklungen im Bereich der Spracherkennung dargestellt. Weiter werden die Sprachassistenten verglichen und die verwendeten Technologien aufgezeigt. Ein wichtiger Teil ist die Funktionsweise vom Sprachassistent Siri. Apple veröffentlichte seinen Sprachassistenten im Jahr 2011 mit dem Release von iOS 5. Ebenfalls werden InApp Sprachassistenten im Markt verglichen. Die Forschung im Bereich der Spracherkennung ist ein aktives Forschungsgebiet. Die Jahre 2010 bis 2020 haben laut (Hannun, 2021) einen grossen Fortschritt in der Spracherkennung erlebt. Dieser Fortschritt ist vor allem auf die Verwendung von Deep Learning zurückzuführen. In der Allgemeinheit ist Spracherkennung vor allem durch die Sprachassistenten von Apple, Google und Amazon bekannt.

#### 3.1 Zeitliche Entwicklung der Spracherkennung

Die Spracherkennung entwickelte sich von 2010 bis 2020 mit enormen Fortschritten. In der heutigen Zeit wird die Spracherkennung in Form von Sprachassistenten wie Siri, Alexa und Google Assistant von vielen Menschen genutzt. Die Nutzung der Sprachassistenten wird vor allem für Suchanfragen verwendet. Angesichts des Fortschritts der letzten Jahre stellt sich die Frage, was die Zukunft bringen wird (Hannun, 2021).

Die Abbildung 6 zeigt eine Timeline der wichtigsten Entwicklungen im Zeitraum von 2010 bis 2020. Die Timeline wurde basierend auf der Timeline von (Hannun, 2021) erstellt aber mit einem Zusatz für das Jahr 2020, welches die neuste Entwicklung von Facebook AI's wav2vec2 aufzeigt (Baevski et al., 2020).

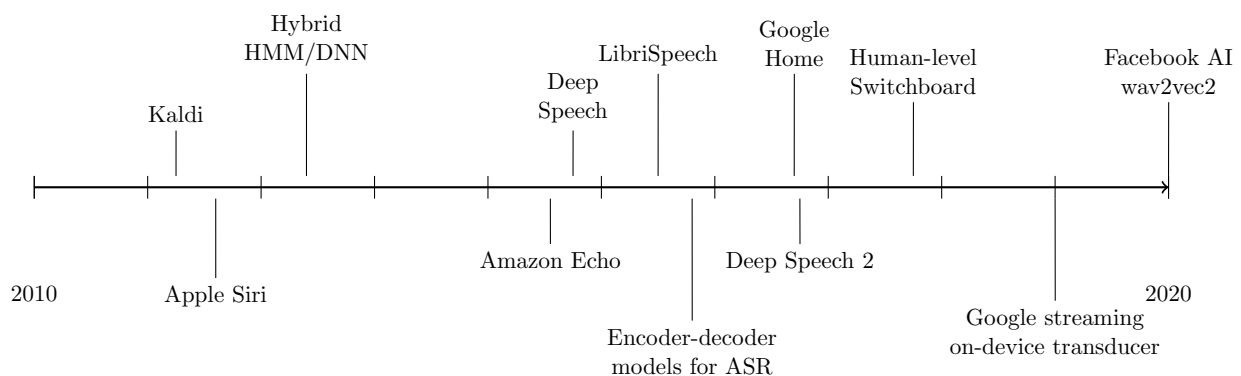


Abbildung 6: Timeline of Speech Recognition Developments (2010-2020)

Deep Learning hat zum grossen Teilen die Spracherkennung revolutioniert, insbesondere durch die Sammlung grosser transkribierter Datensätze und Fortschritte in der Hardware. Spätestens seit (*Deep Speech*) sind Fähigkeiten der akustischen Sprachmodelle mit denen von Menschen vergleichbar (Hannun, 2021).

Als offene Vorhersage für die Zukunft der Spracherkennung bezieht sich (Hannun, 2021) auf die Entwicklung bis 2030. Bis 2030 wird die Spracherkennungs-Forschung eine Verlagerung zu self-supervised Modellen und On-Device-Training erleben, wobei der Fokus auf kleine sparsame Modelle und personalisierten Modellen liegt. Die Wortfehlerrate wird weiter sinken, während die Sprachqualität steigt (Hannun, 2021).

## 3.2 Komparative Analyse von Sprachassistenten

TODO: - (Matarneh et al., 2017) bietet eine komparative Analyse von Sprachassistenten. Die Analyse "Voice control implementation may be conditionally divided into parts: speech, recognition, translation, and execution of commands (Fig. 1)."

## 3.3 Funktionsweise von Siri

Die Implementation von Siri ist nicht öffentlich zugänglich, aber Apple selbst dokumentiert das Grundlegende Konzept von Siri sehr detailliert. Der Beitrag "Hey Siri: An On-device DNN-powered Voice Trigger for Apple's Personal Assistant" Siri-Team, 2017 von der ML Research Group von Apple gibt einen sehr detaillierten Einblick in die Funktionsweise von Siri. Siri besteht aus diversen Komponenten, welche mehrheitlich in der Cloud laufen. "Most of the implementation of Siri is in the Cloud, including the main automatic speech recognition, the natural language interpretation and the various information services." (Siri-Team, 2017). Der Trigger von Siri läuft jedoch auf dem Gerät selbst. Um diesen geht es im wesentlichen in diesem Kapitel.

Siri verwendet für den Voice Trigger ein Deep Neural Network (DNN) um das akustische Muster jedes Frames in eine Verteilung von Wahrscheinlichkeiten für jeden Phonem zu übersetzen. Die Phoneme sind die Bausteine der akustischen Sprache. Aus den Wahrscheinlichkeiten wird in einen zeitlichen Integrationsprozess bestimmt, wie sicher es ist, dass das Gesagte 'Hey Siri' war.

Das Mikrofon des Geräts wandelt das Audiosignal in einen kontinuierlichen Stream von 16000 Samples pro Sekunde um. Diese Samples werden anschliessend durch eine Spektralanalyse in eine Abfolge von Frames transformiert, wobei jeder dieser Frames das Spektrum von ungefähr 0,01 Sekunden beschreibt. Zwanzig Frames, die sich über 0,2 Sekunden erstrecken, werden dann als Eingabe für das DNN verwendet.

e ....

TODO: Offenlegung der Funktionsweise von Siri. Wie funktioniert Siri? Als Beispiel eines OS übergreifenden Sprachassistenten. (Siri-Team, 2017) und (Apple, 2023)

- Untersuchung und Darstellung der Funktionsweise von Siri.
- Nutzung der Quellen Siri-Team, 2017 und Apple, 2023 zur detaillierten Erklärung von Siris Arbeitsweise.
- Überprüfen der Links für zusätzliche Informationen:
  - <https://machinelearning.apple.com/research/hey-siri>
  - <https://machinelearning.apple.com/research/voice-trigger>

## 3.4 In App Sprachsteuerung

TODO: Siri bietet API für In App Sprachsteuerung. Wie funktioniert das? Wie kann das verwendet. Keine eigenen Triggerwörter möglich. Gibt es alternativen?

## 3.5 Marktanalyse - Benchmarking

die machen es kommerziell, ich mache es open source <https://picovoice.ai/platform/porcupine/>

## 3.6 Diskussion



## 4 Ideen und Konzepte

Dieses Kapitel beschreibt die Ideen und Konzepte, die für die Umsetzung der Arbeit verwendet werden. Es wird auch auf die verwendeten Technologien eingegangen.

Die Grob Idee ist es im wesentlichen, ein eigenes Modell zu trainieren, welches Triggerwörter erkennt. Dazu wird ein Datensatz erstellt, welcher die Triggerwörter, sowie andere Wörter enthält.

In einem ersten Schritt wird ein eigenes Modell trainiert, welches Triggerwörter erkennt. Es gibt aber auch die Möglichkeit, ein bereits vortrainiertes Modell zu verwenden. Dieses Kapitel

### 4.1 Einleitung

- Kurze Wiederholung des Problems und der Vision für Ihr Projekt.
- Einführung in die Ideen und Konzepte, die Sie in Betracht ziehen, um dieses Ziel zu erreichen.

### 4.2 Grundlegende Idee

- Erklärung, wie eine integrierte Spracherkennung den Benutzererfahrungen in mobilen Apps verbessern könnte.
- Beispiel: Automatisierte To-Do-Liste-Einträge durch Sprachbefehle.

### 4.3 Skizzenhafte Lösungsansätze

- Machine Learning: Verwendung von bereits trainierten Modellen oder Aufbau eigener Modelle zur Triggerwort-Erkennung.
- Cloud vs. Edge Computing: Ob die Spracherkennung in der Cloud oder direkt auf dem Gerät erfolgen sollte.
- Integration: SDKs oder APIs, die Entwicklern helfen, die Spracherkennungsfunktionalität in ihre Apps zu integrieren.

### 4.4 Systemarchitektur

- Überlegungen zur Systemarchitektur: Ist ein monolithisches System oder eine Microservice-Architektur sinnvoller?
- Vorteile und Herausforderungen beider Ansätze im Kontext der Spracherkennung.

### 4.5 Alternative Ansätze

- Untersuchung anderer Technologien oder Ansätze zur Spracherkennung, z.B. regelbasierte Systeme im Vergleich zu Machine Learning.
- Warum Sie sich für einen bestimmten Ansatz entschieden haben oder warum Sie einen anderen verworfen haben.

### 4.6 Mögliche Problempunkte

- Datenschutz: Wie wird die Privatsphäre der Benutzer gewahrt?
- Effizienz: Wie kann sichergestellt werden, dass die Spracherkennung schnell und akkurat ist?
- Integration: Wie kann die Kompatibilität mit einer Vielzahl von Apps und Plattformen gewährleistet werden?

#### **4.7 Erste Überlegungen zu Tools und Technologien**

- Welche Programmiersprachen oder Frameworks könnten verwendet werden?
- Eventuelle Betrachtung von Open-Source-Optionen für Spracherkennung.

#### **4.8 Zusammenfassung und Ausblick**

- Ein kurzer Überblick über die in diesem Kapitel vorgestellten Ideen und Konzepte.
- Ein Vorgeschmack darauf, wie diese Konzepte in den kommenden Kapiteln weiter verfolgt werden.

....

## 5 Methoden

Am besten dieses Paper verwenden (Choi et al., 2018).

### 5.1 Vorgehensmodell

- Auswahl des passenden Vorgehensmodells zur Integration einer Spracherkennungsfunktion, z.B. iteratives Modell.
- Verweis auf den konkreten Terminplan mit Meilensteinen spezifisch für die Spracherkennungs-Integration (im Kapitel 5 oder im Anhang).

### 5.2 Forschungsmethoden (falls anwendbar)

- Erwägung von Benutzertests, um zu prüfen, wie intuitiv und effizient die Spracherkennungsfunktion ist.
- Interviews mit potenziellen Nutzern der App, um ihre Anforderungen und Erwartungen in Bezug auf Spracherkennung zu verstehen.

### 5.3 Technische Evaluierung

- Vergleich verschiedener Spracherkennungs-APIs oder Frameworks hinsichtlich Genauigkeit, Latenz, Sprachunterstützung und Kosten.
- Technische Tests zur Prüfung der Performance und Genauigkeit der gewählten Spracherkennungslösung.

### 5.4 Integrationsmethode

- Beschreibung der geplanten Techniken zur Integration, z.B. Einbindung über API, Implementierung bestimmter Bibliotheken oder Nutzung nativer App-Funktionen.
- Diskussion über potenzielle Herausforderungen bei der Integration und wie sie angegangen werden sollen.

### 5.5 Teststrategie

- Entwurf einer Teststrategie speziell für die Spracherkennungsfunktion: Testen unter verschiedenen Bedingungen (z.B. Hintergrundgeräusche, verschiedene Sprachen und Akzente).
- Verweis darauf, dass die eigentliche Testdurchführung in einem anderen Kapitel oder Dokument beschrieben ist.

## 6 Realisierung

Das Problem dieser Arbeit ist im wesentlichen die Erkennung von Triggerwörtern innerhalb des Kontext einer App. Grundsätzlich ist es unüblich, dass mobile Apps eine integrierte Sprachsteuerungsfunktion anbieten.

### 6.1 Google Cloud Platform

TODO: Google Cloud Platform um Datensätze zu hosten auf Storage Bucket. TODO: Recorder Webseite für Aufnahme von Sprachsamples (Warden, 2018)

In den Sample zu VoiceCommands wird eine Recorder Webseite angeboten, mit welcher Sprachsamples aufgenommen werden können. Selbsterstellen einer kleinen Seite Hosting dieser Webseite auf GCP <https://github.com/petewarden/open-speech-recording/tree/master>

Fork (Warden, 2018)

#### 6.1.1 Recorder Webseite

### 6.2 Datensatz

Um ein Modell zu trainieren, welches Triggerwörter erkennt, wird ein Datensatz benötigt.

#### 6.2.1 Datensatz 'other'

Am besten von Dataset (Warden, 2018)

- Dataset von Mozilla Common Voice
- Dataset von Google Speech Commands

#### 6.2.2 Datensatz 'hey-fooby'

- TODO: Recorder Webseite für Aufnahme von Sprachsamples
- Synthetische Sprachsamples mit verschiedenen Stimmen Geräuschen und Hintergrundgeräuschen

### 6.3 Modell

- Auswahl des Modells
- Auswahl der Hyperparameter
- Training des Modells
- Evaluation des Modells

#### 6.3.1 Modell 'CNN'

- Aufbau des Modells
- TODO: Beschreibung des Modells

#### 6.3.2 Modell 'RNN'

- Aufbau des Modells
- TODO: Beschreibung des Modells

## 7 Evaluation und Validation

Das Problem dieser Arbeit ist im wesentlichen die Erkennung von Triggerwörtern innerhalb des Kontext einer App. Grundsätzlich ist es unüblich, dass mobile Apps eine integrierte Sprachsteuerungsfunktion anbieten.

## 8 Ausblick

Das Problem dieser Arbeit ist im wesentlichen die Erkennung von Triggerwörtern innerhalb des Kontext einer App. Grundsätzlich ist es unüblich, dass mobile Apps eine integrierte Sprachsteuerungsfunktion anbieten.

## 9 Anhang

### 9.1 Projektmanagement

Das Projektmanagement spielt eine zentrale Rolle in der Vorbereitungsphase meiner Bachelorarbeit und bildet die Grundlage für den Erfolg des gesamten Vorhabens. Dabei geht es nicht nur um die reine Planung, sondern auch um eine effiziente Steuerung und kontinuierliche Kontrolle aller Arbeitspakete und derer Ergebnisse. Die besondere Herausforderung meiner Arbeit liegt darin, das umfangreiche Themengebiet, das für diese Bachelorarbeit relevant ist, innerhalb des engen Zeitrahmens von 14 Wochen sinnvoll und fundiert zu bearbeiten. Das Themengebiet umfasst diverse Bereiche der Informatik. Darunter fallen Audioverarbeitung, maschinelles Lernen, Softwareentwicklung und auch einiges an mathematischem Hintergrundwissen. Daher wurde ein agiles Vorgehensmodell gewählt. Dies bedeutet, dass sowohl die Planung als auch die Umsetzung in iterative Zyklen unterteilt sind. Während es zu Beginn eine grobe Struktur und Zielsetzung gibt, ermöglicht diese Herangehensweise Flexibilität in der Durchführung. Dadurch können Veränderungen oder unerwartete Ereignisse leichter integriert und die Bachelorarbeit fortlaufend optimiert werden.

#### 9.1.1 Produkt Backlog

Der Product Backlog beinhaltet alle Anforderungen die für die Erstellung des Spracherkennungssystems. Die Erstellung des Models, die Entwicklung der mobile App und die Dokumentation sind dabei die Hauptaufgaben.



Abbildung 7: Tabelle für das anfängliche Product Backlog

#### 9.1.2 Risikomanagement

Als mögliche Risiken wurden im Projekt zum einen die Komplexität des Themas und zum anderen die begrenzte Zeit für die Bearbeitung identifiziert. Weitere Risiken, die während der Projektdurchführung aufgetreten sind, werden nachfolgend zusammengefasst. Die Tabelle 3 zeigt die identifizierten Risiken, deren Eintrittswahrscheinlichkeit sowie die Auswirkung auf das Projekt.

Risiko	Eintrittswahrscheinlichkeit	Auswirkung
Komplexität des Themas	Hoch	Gross
Begrenzte Zeit für Bearbeitung (14 Wochen)	Mittel	Kritisch
80% Arbeitspensum, 20h pro Woche am Wochenende	Hoch	Mittel
Grosser Release in aktueller Arbeit bis Ende Oktober	Hoch	Hoch
Qualität des Speech Recognizers	Mittel	Kritisch
Latenz und Performance des Erkenners	Hoch	Gross

Tabelle 3: Identifizierte Risiken im Projekt

## 9.2 Grobplanung

Die Grobplanung zeigt die wichtigsten Meilensteine sowie die anfängliche zeitliche Einteilung der einzelnen Themenbereiche die für die Bachelorarbeit relevant sind, aufgezeigt. Die Grobplanung ist in Abbildung 8 dargestellt.

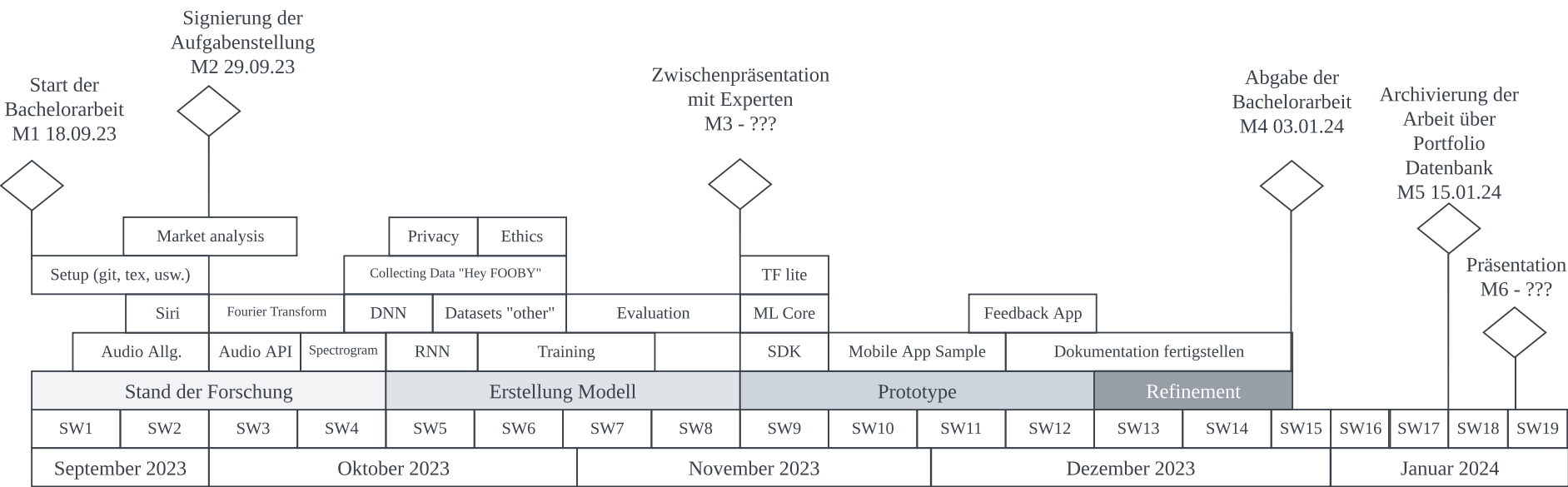


Abbildung 8: Grobplanung



## Abbildungsverzeichnis

1	Frames, Channels und Buffers . . . . .	8
2	Rechteckfunktion und ihre Fourier-Transformation . . . . .	10
3	Funktion $f(x)$ mit 5 Samples . . . . .	11
4	Rekonstruktion des Signals $f(x)$ . . . . .	12
5	Spektrogramm . . . . .	13
6	Timeline of Speech Recognition Developments (2010-2020) . . . . .	15
7	Tabelle für das anfängliche Product Backlog . . . . .	23
8	Grobplanung . . . . .	24

## Tabellenverzeichnis

1	Frames in Interleaved und Non-interleaved Buffers . . . . .	8
2	$f(x)$ und die DFT der 5 Samples . . . . .	12
3	Identifizierte Risiken im Projekt . . . . .	23

## Literaturverzeichnis

- Apple, M. L. J. (2023, August). *Voice Trigger System for Siri* [Zugriffsdatum: 10. September 2023]. <https://machinelearning.apple.com/research/voice-trigger>
- Baevski, A., Zhou, H., Mohamed, A., & Auli, M. (2020). wav2vec 2.0: A Framework for Self-Supervised Learning of Speech Representations.
- Chaudhary, K. (2020). *Understanding Audio data, Fourier Transform, FFT and Spectrogram features for a Speech Recognition System* [Zugriff am: 06.10.2023]. <https://dropsofai.com/understanding-audio-data-fourier-transform-fft-and-spectrogram-features-for-a-speech-recognition-system/>
- Choi, K., Fazekas, G., Cho, K., & Sandler, M. (2018). A Tutorial on Deep Learning for Music Information Retrieval.
- Deloraine, E. M., & Reeves, A. H. (1965). The 25th anniversary of pulse code modulation. *IEEE Spectrum*, 2(5), 56–63. <https://doi.org/10.1109/MSPEC.1965.5212943>
- Hannun, A. (2021). The History of Speech Recognition to the Year 2030.
- Hansen, E. W. (2014, September). *Fourier Transforms: Principles and Applications*. Wiley.
- Matarneh, R., Maksymova, S., Lyashenko, V. V., & Belova, N. V. (2017). Speech Recognition Systems: A Comparative Review [Submission Date: 13-10-2017, Acceptance Date: 27-10-2017]. *OSR Journal of Computer Engineering (IOSR-JCE)*, 19(5), 71–79. <https://doi.org/10.9790/0661-1905047179>
- Siri-Team. (2017, Oktober). *Hey Siri: An On-device DNN-powered Voice Trigger for Apple's Personal Assistant* [Zugriffsdatum: 10. September 2023]. <https://machinelearning.apple.com/research/hey-siri>
- Somberg, G., Davidson, G., & Doumler, T. (2019). A Standard Audio API for C++: Motivation, Scope, and Basic Design [“C++ is there to deal with hardware at a low level, and to abstract away from it with zero overhead.” – Bjarne Stroustrup, Cpp.chat Episode #44]. *Programming Language C++*.
- Tarr, E. (2018). *Hack audio : an introduction to computer programming and digital signal processing in MATLAB* (1st edition). Routledge.
- Warden, P. (2018). Speech Commands: A Dataset for Limited-Vocabulary Speech Recognition.
- Weitz, P. D. E. (2023). *Fourier-Analysis in 100 Minuten* [Zugriff am: 06.10.2023]. YouTube. <https://www.youtube.com/watch?v=zXd743X6I0w>



## Aufgabenstellung

Integration von Sprachsteuerungstechnologien in Mobile Apps, insbesondere zur Erkennung von Triggerwörtern.

## Projektteam

- Student:in: Rubén Nuñez
- Betreuer:in: Herzog
- Firma: Bitforge AG

## Auftraggeber

- Firma: Bitforge AG
- Ansprechperson: Stefan Reinhard
- Funktion: Head of Mobile
- Adresse: Zeughausstrasse 39, 8004 Zürich
- Telefon: +41 55 211 02 41
- E-Mail: stefan.reinhard@bitforge.ch
- Website: [www.bitforge.ch](http://www.bitforge.ch)

## Sonstige Bemerkungen

Grundkenntnisse in Machine Learning, speziell im Bereich der Spracherkennung, sowie Erfahrung mit entsprechenden APIs sind erforderlich.